

## Ортогональные вейвлеты Добеши

Файл содержит теорию построения банков фильтров ортогонального вейвлет-преобразования, средства расчета фильтров и их применение для вейвлет преобразования.

### Основные обозначения

Данная блок схема представляет собой 2-х каналный банк фильтр вейвлет преобразования

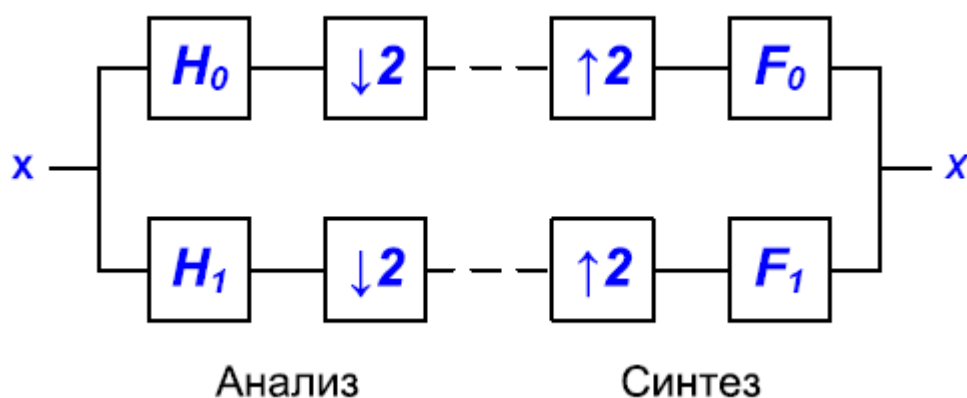


Рис.1 Двухканальный банк фильтр вейвлет преобразования.

Банк фильтров анализа разделяет входной сигнал **X** на два с помощью фильтров анализа с импульсными характеристиками **H<sub>0</sub>** и **H<sub>1</sub>**. После фильтров каждый 2-ой отсчет сигнала отбрасывается.

В обоих каналах блока синтеза после каждого входного отсчета вставляется нулевой отсчет, далее эти сигналы поступают на фильтры синтеза **F<sub>0</sub>** и **F<sub>1</sub>** и суммируются.

Стоит задача найти такие фильтры, чтобы 2-х каналный банк фильтр на выходе восстанавливал сигнал **X** абсолютно точно.

Точное восстановление имеет место при выполнении следующих двух равенств:

$$F(z)_0 \cdot H(z)_0 + F(z)_1 \cdot H(z)_1 = 2z^{-N} \quad (1)$$

$$F(z)_0 \cdot H(-z)_0 + F(z)_1 \cdot H(-z)_1 = 0 \quad (2)$$

**H(z)<sub>0</sub>**, **H(z)<sub>1</sub>** и **F(z)<sub>0</sub>**, **F(z)<sub>1</sub>** - это z-преобразование импульсной характеристики фильтров анализа и синтеза.

Для выполнения этих 2-х равенств определим фильтры анализа и синтеза следующим образом:

**Z-преобразование импульсной характеристики фильтра:**

**Импульсная характеристика фильтра:**

$$H(z)_0 = \sum_{k=0}^N h(k) \cdot z^{-k}$$

$$h(0), h(1), \dots, h(N-1), h(N)$$

$$H(z)_1 = -z^{-N} \cdot H(-z^{-1})_0 = \sum_{k=0}^N (-1)^k \cdot h(N-k) \cdot z^{-k}$$

$$h(N), -h(N-1), \dots, h(1), -h(0)$$

$$F(z)_0 = H(-z)_1 = \sum_{k=0}^N h(N-k) \cdot z^{-k}$$

$$h(N), h(N-1), \dots, h(1), h(0)$$

$$F(z)_1 = -H(-z)_0 = \sum_{k=0}^N (-1)^{k+1} \cdot h(k) \cdot z^{-k}$$

$$-h(0), h(1), \dots, -h(N-1), h(N)$$

Данный выбор приводит нас к сопряженным квадратурным фильтрам (**Conjugate Quadrature Filters - CQF**). Они также появляются при построении ортогональных вейвлетов Добеши.

Заменой  $H(z)_1$  на  $F(-z)_0$  и  $F(z)_1$  на  $-H(-z)_0$  в формуле (1) получаем:

$$F(z)_0 \cdot H(z)_0 - F(-z)_0 \cdot H(-z)_0 = 2 \cdot z^{-N}$$

Произведя замену  $P(z)_0 = F(z)_0 H(z)_0$  равенство (1) преобразуется к виду:

$$P(z)_0 - P(-z)_0 = 2 \cdot z^{-N}$$

$$P(z)_0 = z^{-N} \cdot H(z^{-1})_0 \cdot H(z)_0 \quad P(-z)_0 = -z^{-N} \cdot H(-z^{-1})_0 \cdot H(-z)_0$$

Умножая  $P(z)_0$  на  $z^N$  получаем следующие соотношения:

$$P(z) = z^N P(z)_0 = H(z^{-1})_0 \cdot H(z)_0$$

$$P(z) + P(-z) = 2 \quad (3)$$

Фильтр удовлетворяющий соотношению (3) называется - **полуполосным фильтром**

## Пример

$$P(z) := 1 + \frac{9}{16} \cdot z^{-1} + \frac{9}{16} \cdot z - \frac{1}{16} \cdot z^{-3} - \frac{1}{16} \cdot z^3$$

$$P(z) + P(-z) \text{ simplify } \rightarrow 2$$

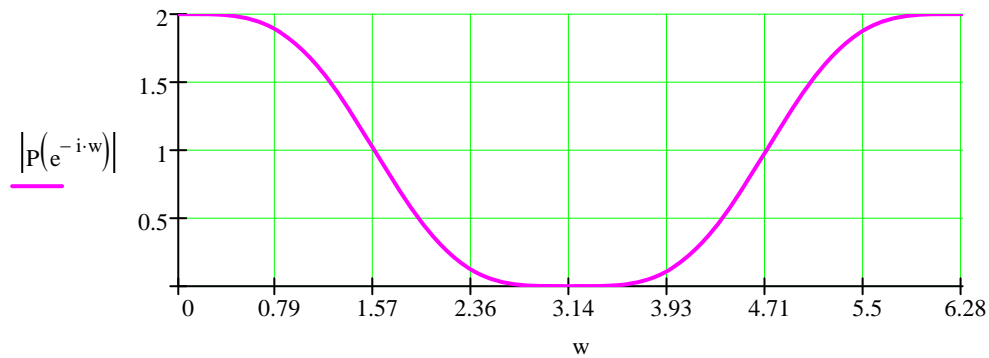


Рис.2 Частотная характеристика полуполосного фильтра.

Заменой  $z=e^{iw}$  - перейдем в частотную область.

Тогда получим, что  $P(e^{iw})=H(e^{-iw})_0 H(e^{iw})_0$  и соответственно  $|P(w)|=|H(w)_0|^2$ .

Таким образом находя  $P(z)$  и разлагая его на множители мы определим  $H(z)_0$ .

Для ортогональных вейвлетов Добеши с  $p$  нулевыми моментами формула для вычисления  $P(z)$  имеет вид:

$$P(z) = 2 \cdot \left( \frac{1+z}{2} \right)^P \cdot \left( \frac{1+z^{-1}}{2} \right)^P \sum_{k=0}^{P-1} \left( \frac{(P+k-1)!}{k! \cdot (P-1)!} \right) \cdot \left( \frac{1-z}{2} \right)^k \cdot \left( \frac{1-z^{-1}}{2} \right)^k$$

Наличие  $p$  нулевых моментов означает, что  $H(w)_0$  должен иметь нуль порядка  $p$  в точке:  $w=\pi$ . Тогда фильтр  $H(z)_0$  будет обладать  $2p$  - ненулевыми коэффициентами.

$$P(z,p) := 2 \left( \frac{1+z}{2} \right)^p \cdot \left( \frac{1+z^{-1}}{2} \right)^p \cdot \sum_{k=0}^{p-1} \left( \frac{(p+k-1)!}{k! \cdot (p-1)!} \right) \cdot \left( \frac{1-z}{2} \right)^k \cdot \left( \frac{1-z^{-1}}{2} \right)^k$$

Покажем, что  $P(z)$  удовлетворяет соотношению (3):

$$p := 10$$

$$P(z, p) + P(-z, p) \text{ simplify } \rightarrow 2$$

Для нахождения  $H(z)_0$  необходимо определить все значения  $z$  для которых  $P(z)=0$ .

Всего  $P(z)$  имеет  $4p-2$  нулей:  $2p$  нулей при  $z=-1$  и

$2p-2$  нулей, даваемых множителем:

$$B(z, p) := \sum_{k=0}^{p-1} \left( \frac{(p+k-1)!}{k! \cdot (p-1)!} \right) \cdot \left( \frac{1-z}{2} \right)^k \cdot \left( \frac{1-z^{-1}}{2} \right)^k$$

Таким образом можно вычислить  $H(z)_0$  в 2 шага:

1. Найти все нули  $B(z, p)$  и выделить из них  $p-1$  нуль, значения которых по модулю меньше 1.
2. Добавить  $p$  нулей при  $z=-1$ . Тогда  $H(z)_0$  будет иметь  $2p-1$  нуль.

## Расчет коэффициентов вейвлета Добеши

Для вычисления коэффициентов вейвлета Добеши необходимо задать только количество нулевых моментов вейвлета "P"

1) Задаем количество нулевых моментов  $p := 7$

2) Находим нули  $B(z,p)$

$$B(z,p) := \sum_{k=0}^{p-1} \left( \frac{(p+k-1)!}{k! \cdot (p-1)!} \right) \cdot \left( \frac{1-z}{2} \right)^k \cdot \left( \frac{1-z^{-1}}{2} \right)^k$$

$$\text{SPF} := B(z,p) = 0 \text{ solve, } z \rightarrow \begin{pmatrix} .26192301501370458750 - .39318454417261394145 \cdot i \\ .26192301501370458750 + .39318454417261394145 \cdot i \\ .33406281883084842679 - .20673317774852633826 \cdot i \\ .33406281883084842679 + .20673317774852633826 \cdot i \\ .35726492400363951991 - 6.5232148056767829483 \cdot 10^{-2} \cdot i \\ .35726492400363951991 + 6.5232148056767829483 \cdot 10^{-2} \cdot i \\ 1.1735020320374838069 - 1.7615972446260681177 \cdot i \\ 1.1735020320374838069 + 1.7615972446260681177 \cdot i \\ 2.1645084558154166087 - 1.3394957059284547186 \cdot i \\ 2.1645084558154166087 + 1.3394957059284547186 \cdot i \\ 2.7087387542989070502 - .49458213106230131661 \cdot i \\ 2.7087387542989070502 + .49458213106230131661 \cdot i \end{pmatrix}$$

3) Отделяем нули  $B(z,p)$ , значение по модулю которых меньше 1

$$ms := 0 \dots \text{last}(\text{SPF})$$

$$\text{last}(\text{SPF}) = 11$$

$$V_{ct_{ms}} := \text{if} \left( \left| \text{SPF}_{ms} \right| < 1, \text{SPF}_{ms}, 0 \right)$$

4) Формируем полином из нулей, значение которых по модулю меньше 1

$$Fzp(z) := \frac{\prod_{ms=0}^{2(p-1)-1} (z - V_{ct_{ms}})}{z^{p-1}}$$

5) Формируем полином  $H(z)=H(z)_0$  и находим его коэффициенты при степенях  $z$ , так как они определяют значения коэффициентов вейвлета Добеши. Умножение на  $z^{1-2p}$  необходимо для того, чтобы фильтр  $H(z)$  был причинным

$$H(z) := Fzp(z) \cdot (z + 1)^p \cdot z^{1-2p}$$

$$KF := H(z) \text{ coeffs}, z \rightarrow \begin{pmatrix} 4.5434099861808081968 \cdot 10^{-3} - 1 \cdot 10^{-23} \cdot i \\ -2.3141851878181612679 \cdot 10^{-2} + 2.3 \cdot 10^{-22} \cdot i \\ 5.51787589897483890 \cdot 10^{-3} - 1.1 \cdot 10^{-22} \cdot i \\ .16121602318154311489 - 4.05 \cdot 10^{-21} \cdot i \\ -.2128979360334998572 + 1.5 \cdot 10^{-22} \cdot i \\ -.48848983346652769987 + 5.229 \cdot 10^{-20} \cdot i \\ 1.035458988186235749 + 1.6023 \cdot 10^{-19} \cdot i \\ .915958096480836279 + 2.4009 \cdot 10^{-19} \cdot i \\ -2.877717070242550296 + 2.103 \cdot 10^{-19} \cdot i \\ -1.8484548111142685538 + 1.10 \cdot 10^{-19} \cdot i \\ 6.034295342961999298 + 3.2 \cdot 10^{-20} \cdot i \\ 9.365611471857559014 + 4 \cdot 10^{-21} \cdot i \\ 5.09349848430362 \\ 1 \end{pmatrix}$$

6) Нормируем значения коэффициентов и выделяем их действительные значения в обратном порядке для того, чтобы коэффициенты фильтра соответствовали возрастанию отрицательной степени **z**

$$H_0 := \text{reverse}\left(\text{Re}\left(\frac{KF}{|KF|}\right)\right)$$

7) Отображаем **2p** - коэффициентов вейвлета Добеши

H<sub>0</sub> =

	0
0	0.07785205
1	0.39653932
2	0.72913209
3	0.46978229
4	-0.143906
5	-0.22403618
6	0.07130922
7	0.08061261
8	-0.03802994
9	-0.01657454
10	0.012551
11	0.00042958
12	-0.00180164
13	0.00035371

8) Построение графика импульсной характеристики вейвлета Добеши

$$n := 0 \dots \text{last}(H_0)$$

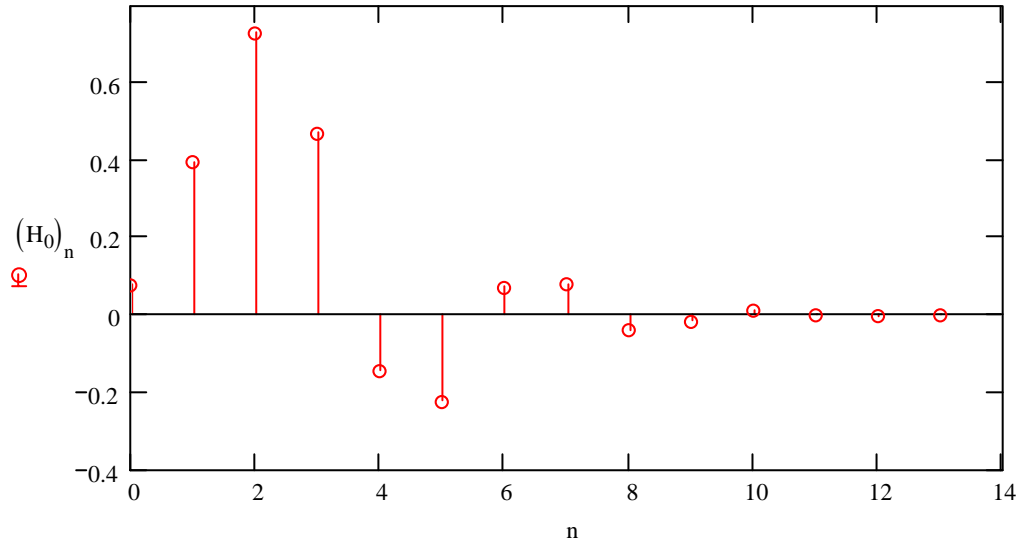


Рис.3 Импульсная характеристика вейвлета Добеши.

9) Построение частотных характеристик верхнего и нижнего канала банк фильтра вейвлет преобразования

$$N := \text{last}(H_0)$$

$$F(w) := \sum_{k=0}^N (H_0)_k \cdot e^{-i \cdot w \cdot k}$$

Частотная передаточная функция  
фильтра с импульсным откликом  $H_0$

$$R(w) := \sum_{k=0}^N (-1)^k \cdot (H_0)_{N-k} \cdot e^{-i \cdot w \cdot k}$$

Частотная передаточная функция  
фильтра с импульсным откликом  $H_1$

$$V(w) := (|F(w)|)^2 \quad \leftarrow \text{Частотная характеристика верхнего канала}$$

$$G(w) := (|R(w)|)^2 \quad \leftarrow \text{Частотная характеристика нижнего канала}$$



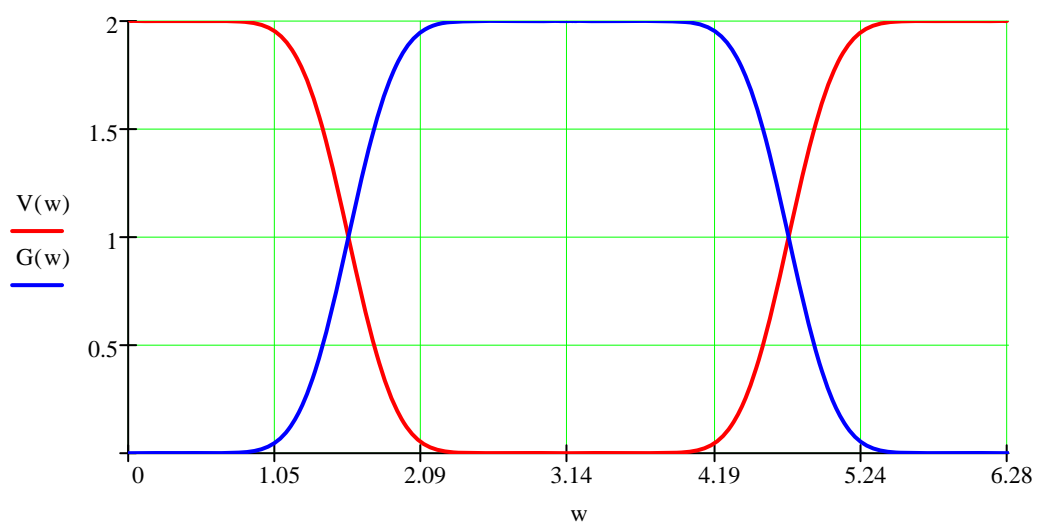


Рис.4 Частотные характеристики фильтров верхнего и нижнего канала

## Прямое дискретное вейвлет преобразование

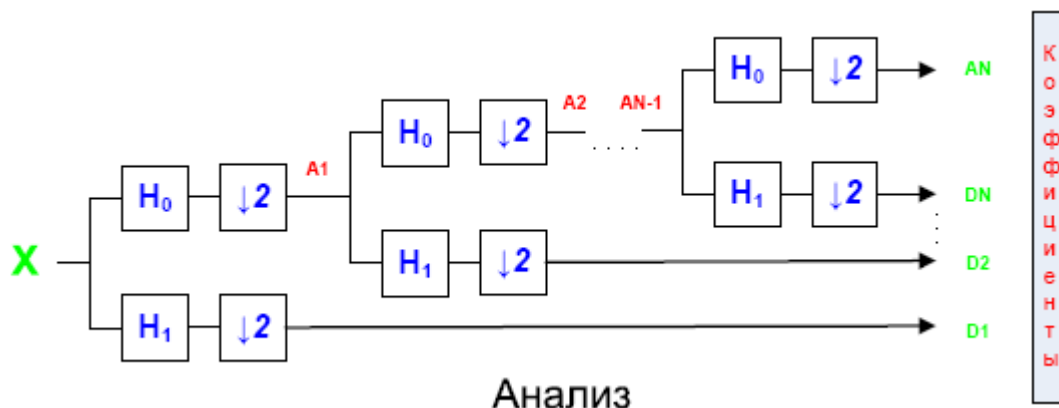


Рис.5 Алгоритм быстрого прямого дискретного вейвлет преобразования

Результатом применения алгоритма быстрого прямого дискретного вейвлет преобразования (Рис.5) к входному сигналу **X** на **N**-ом уровне будут являться:

- **N** - коэффициентов детализации **D1, D2, ..., DN**
- один коэффициент аппроксимации **AN**, на **N**-ом уровне анализа входного сигнала.

Для прямого вейвлет преобразования необходимы фильтры анализа **H0** и **H1**:

$$N := \text{last}(H_0) \quad k := 0 \dots N \quad N = 13$$

$$H0 := H_0$$

$$H1_k := (-1)^k \cdot H0_{N-k}$$

H0 =

	0
0	0.07785
1	0.39654
2	0.72913
3	0.46978
4	-0.14391
5	-0.22404
6	0.07131
7	0.08061
8	-0.03803
9	-0.01657
10	0.01255
11	4.29578·10 <sup>-4</sup>
12	-1.80164·10 <sup>-3</sup>
13	3.53714·10 <sup>-4</sup>

H1 =

	0
0	3.53714·10 <sup>-4</sup>
1	1.80164·10 <sup>-3</sup>
2	4.29578·10 <sup>-4</sup>
3	-0.01255
4	-0.01657
5	0.03803
6	0.08061
7	-0.07131
8	-0.22404
9	0.14391
10	0.46978
11	-0.72913
12	0.39654
13	-0.07785

## Обратное дискретное вейвлет преобразование

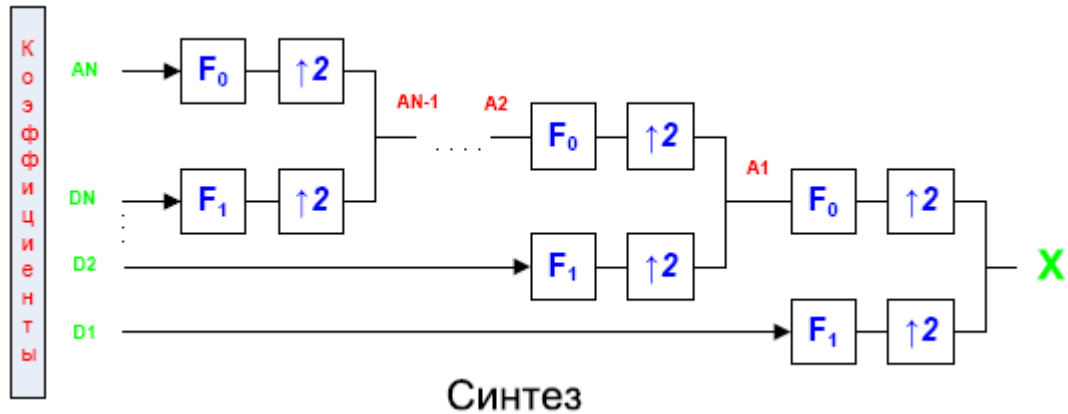


Рис.6 Алгоритм быстрого обратного дискретного вейвлет преобразования

В результате применения алгоритма быстрого обратного дискретного вейвлет преобразования (Рис.6) к коэффициентам  $D1$ ,  $D2, \dots, DN$  и  $AN$  - сигнал  $X$  восстановится точно.

Для обратного вейвлет преобразования необходимы фильтры синтеза  $F_0$  и  $F_1$ :

$$N := \text{last}(H0) \quad k := 0 \dots N \quad N = 13$$

$$F0_k := H0_{N-k} \quad F1_k := (-1)^{k+1} \cdot H0_k$$

$F0 =$

	0
0	$3.53714 \cdot 10^{-4}$
1	$-1.80164 \cdot 10^{-3}$
2	$4.29578 \cdot 10^{-4}$
3	0.01255
4	-0.01657
5	-0.03803
6	0.08061
7	0.07131
8	-0.22404
9	-0.14391
10	0.46978
11	0.72913
12	0.39654
13	0.07785

$F1 =$

	0
0	-0.07785
1	0.39654
2	-0.72913
3	0.46978
4	0.14391
5	-0.22404
6	-0.07131
7	0.08061
8	0.03803
9	-0.01657
10	-0.01255
11	$4.29578 \cdot 10^{-4}$
12	$1.80164 \cdot 10^{-3}$
13	$3.53714 \cdot 10^{-4}$

Определим процедуры позволяющие осуществить прямое и обратное дискретное вейвлет преобразование, по изложенным выше алгоритмам.

Программный модуль **Conv(X,Y)** вспомогательный, он осуществляет **линейную дискретную свертку** двух дискретных сигналов **X** и **Y**.

$$\text{Conv}(X, Y) \equiv \left| \begin{array}{l} Lx \leftarrow \text{last}(X) \\ Ly \leftarrow \text{last}(Y) \\ \text{if } Lx \leq Ly \\ \quad \left| \begin{array}{l} Xd \leftarrow X \\ Yd \leftarrow Y \\ Ldx \leftarrow Lx \\ Ldy \leftarrow Ly \end{array} \right. \\ \text{otherwise} \\ \quad \left| \begin{array}{l} Xd \leftarrow Y \\ Yd \leftarrow X \\ Ldx \leftarrow Ly \\ Ldy \leftarrow Lx \end{array} \right. \\ \text{for } k \in 0 \dots Ldx + Ldy \\ \quad \left| \begin{array}{l} C_k \leftarrow \sum_{i=0}^k Xd_i \cdot Yd_{k-i} \quad \text{if } 0 \leq k \leq Ldx - 1 \\ C_k \leftarrow \sum_{i=0}^{Ldx} Xd_i \cdot Yd_{k-i} \quad \text{if } Ldx \leq k \leq Ldy \\ C_k \leftarrow \sum_{i=k-Ldy}^{Ldx} Xd_i \cdot Yd_{k-i} \quad \text{otherwise} \end{array} \right. \\ C \end{array} \right.$$

Программный модуль **WP(DAT,N)** вспомогательный.

$$\text{WP}(\text{DAT}, N) \equiv \left| \begin{array}{l} LD \leftarrow \text{length}(\text{DAT}) \\ A \leftarrow \text{mod}(LD, 2) \\ B \leftarrow \text{mod}(N, 2) \\ \text{DOUT} \leftarrow \text{submatrix}\left(\text{DAT}, \frac{LD-N}{2}, \frac{LD+N}{2} - 1, 0, 0\right) \quad \text{if } A = 0 \wedge B = 0 \\ \text{DOUT} \leftarrow \text{submatrix}\left(\text{DAT}, \frac{LD-N-1}{2}, \frac{LD+N-3}{2}, 0, 0\right) \quad \text{if } A = 0 \wedge B = 1 \\ \text{DOUT} \leftarrow \text{submatrix}\left(\text{DAT}, \frac{LD-N-1}{2}, \frac{LD+N-3}{2}, 0, 0\right) \quad \text{if } A = 1 \wedge B = 0 \\ \text{DOUT} \leftarrow \text{submatrix}\left(\text{DAT}, \frac{LD-N}{2}, \frac{LD+N}{2} - 1, 0, 0\right) \quad \text{otherwise} \\ \text{DOUT} \end{array} \right.$$

Программный модуль  $DVP(Data, H0, H1, N)$  выполняет  $N$  уровней прямого дискретного вейвлет преобразования вектора данных  $Data$  с фильтрами анализа  $H0$  и  $H1$ .

$$DVP(Data, H0, H1, N) := \left| \begin{array}{l} m \leftarrow \text{last}(Data) \\ n \leftarrow \text{last}(H0) \\ LL_0 \leftarrow \text{floor}\left(\frac{m + n - 1}{2}\right) \\ L_0 \leftarrow m \\ \text{for } s \in 0 \dots N - 1 \\ \quad \left| \begin{array}{l} LOD \leftarrow \text{Conv}(H0, Data) \\ HID \leftarrow \text{Conv}(H1, Data) \\ \text{for } k \in 0 \dots LL_s \\ \quad \left| \begin{array}{l} DH_{k,s} \leftarrow LOD_{2k+1} \\ DH_{k,s+N} \leftarrow HID_{2k+1} \end{array} \right. \\ LL_{s+1} \leftarrow \text{floor}\left(\frac{LL_s + n - 1}{2}\right) \\ L_{s+1} \leftarrow \text{floor}\left(\frac{L_s + n - 1}{2}\right) \\ Data \leftarrow DH^{(s)} \end{array} \right. \\ \left. \begin{pmatrix} DH \\ L \end{pmatrix} \right. \end{array} \right.$$

Таким образом, результатом применения программного модуля  $DVP(Data, H0, H1, N)$

будет матрица вида  $\begin{pmatrix} DH \\ L \end{pmatrix}$ , где:

- $DH$  - матрица содержащая в первых  $N$  столбцах коэффициенты аппроксимации, и в последних  $N$  столбцах коэффициенты детализации
- $L$  - матрица содержащая величину длинны коэффициентов вейвлет преобразования на каждом уровне анализа входного сигнала.

Программный модуль  $OVP(CF, F0, F1, Prg, Tp)$  выполняет обратное дискретное вейвлет преобразование с использованием матрицы  $CF$  - коэффициентов детализации и аппроксимации, полученных в результате прямого вейвлет преобразования ( $CF = DVP(Data, H0, H1, N)$ ) и фильтров синтеза  $F0$  и  $F1$ .

$Tp$  - определяет форму порога и может принимать только два значения:

"H" - жесткий порог

"S" - мягкий порог

$Prg$  - порог, ниже которого все детализирующие коэффициенты обнуляются, должен быть числом большим нуля. Если  $Prg = 0$ , то детализирующие коэффициенты не изменяются, значение  $Tp$  при этом может быть либо "H" или "S".

Отобразим передаточные функции жесткого (Рис.7) и мягкого порога (Рис.8)

$$Prg := 5$$

$$H(x, Prg) := \text{if}(|x| \geq Prg, x, 0)$$

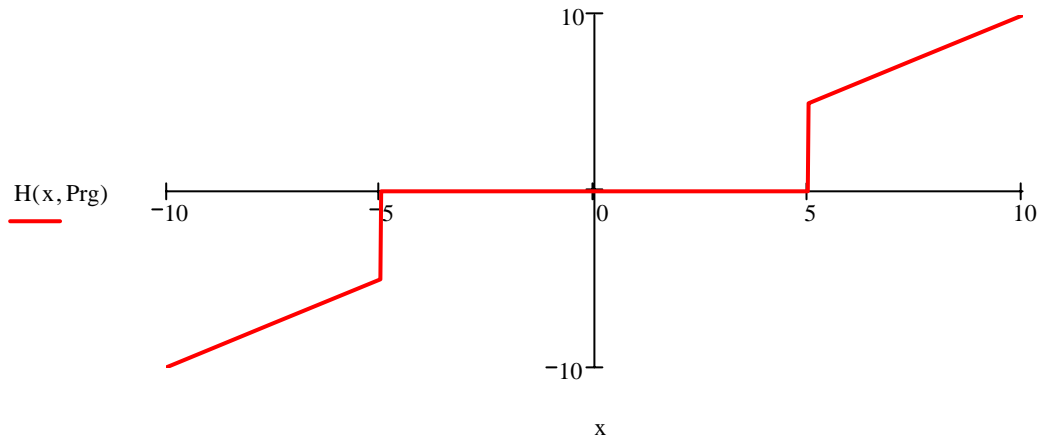


Рис.7 Передаточная функция жесткого порога, при  $Prg = 5$

$$S(x, Prg) := \text{if}(|x| \geq Prg, \text{sign}(x) \cdot (|x| - Prg), 0)$$

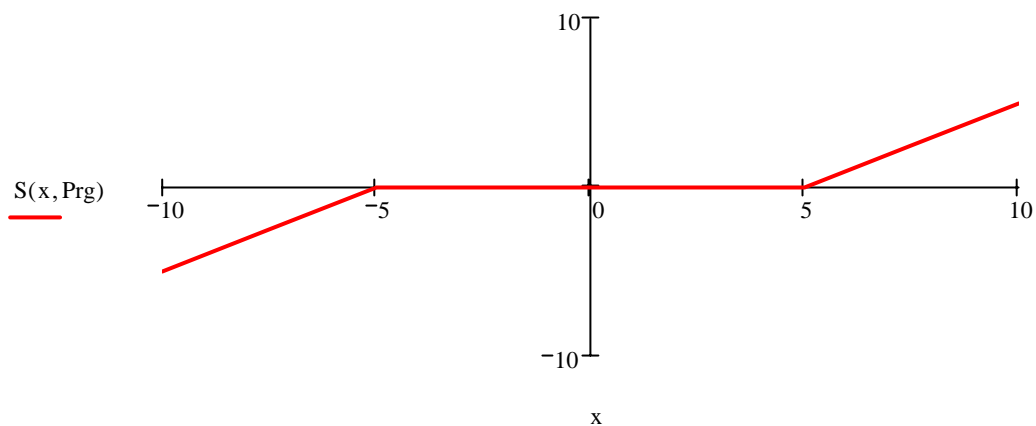


Рис.8 Передаточная функция мягкого порога, при  $Prg = 5$

```

OVP(CF,F0,F1,Prg,Tp) :=
    D ← CF0,0
    L ← CF1,0
    m ← cols(D)
    n ← rows(D)
    N ←  $\frac{m}{2}$ 
    for j ∈ N..m - 1
        for i ∈ 0..n - 1
             $\left\{ \begin{array}{l} \text{DH}_{i,j} \leftarrow D_{i,j} \text{ if } (|D_{i,j}| \geq \text{Prg}) \wedge \text{Tp} = \text{"H"} \\ \text{DH}_{i,j} \leftarrow \text{sign}(D_{i,j}) \cdot (|D_{i,j}| - \text{Prg}) \text{ if } (|D_{i,j}| \geq \text{Prg}) \wedge \text{Tp} = \text{"S"} \\ \text{DH}_{i,j} \leftarrow 0 \text{ otherwise} \end{array} \right.$ 
        APR ← D⟨N-1⟩
        DT ← (reverse((DH)T))T
        for t ∈ 0..N - 1
            for s ∈ 0..2·LN-t + 2
                 $\left\{ \begin{array}{l} \text{DR}_{s,t} \leftarrow 0 \\ \text{AR}_s \leftarrow 0 \end{array} \right.$ 
            for s ∈ 0..LN-t
                 $\left\{ \begin{array}{l} \text{DR}_{2s+1,t} \leftarrow \text{DT}_{s,t} \\ \text{AR}_{2s+1} \leftarrow \text{APR}_s \end{array} \right.$ 
            Rec⟨t⟩ ← Conv(F0,AR) + Conv(F1,DR⟨t⟩)
            Rc⟨t⟩ ← WP(Rc⟨t⟩,LN-t-1 + 1)
            APR ← Rc⟨t⟩
    APR

```

Проверка тождественности функций прямого **DVP(Data,H0,H1,N)** и обратного **OVP(CF,F0,F1,Prg,Tp)** вейвлет преобразования

1) Задаем параметры синусоиды

$$i := 0 \dots 1000$$

$$DXD_i := \sin\left(\frac{4 \cdot \pi}{256} i\right)$$

2) Задаем шумовой сигнал

- $m=0$  - значение математического ожидания
- $\sigma = 0.3$  - значение среднего квадратического отклонения.

$$m := 0 \quad \sigma := 0.3$$

$$Shum := \text{rnorm}(\text{length}(DXD), m, \sigma)$$

3) Создаем тестовый сигнал - суммируя значения синусоиды и шума

$$DAT_i := DXD_i + Shum_i$$

4) Выполняем N=5 уровней прямого вейвлет преобразования

$$N := 5 \quad WDB := \text{DVP}(DAT, H0, H1, N)$$

5) Выполняем обратное вейвлет преобразование

$$IWD := \text{OVP}(WDB, F0, F1, 0, "H")$$

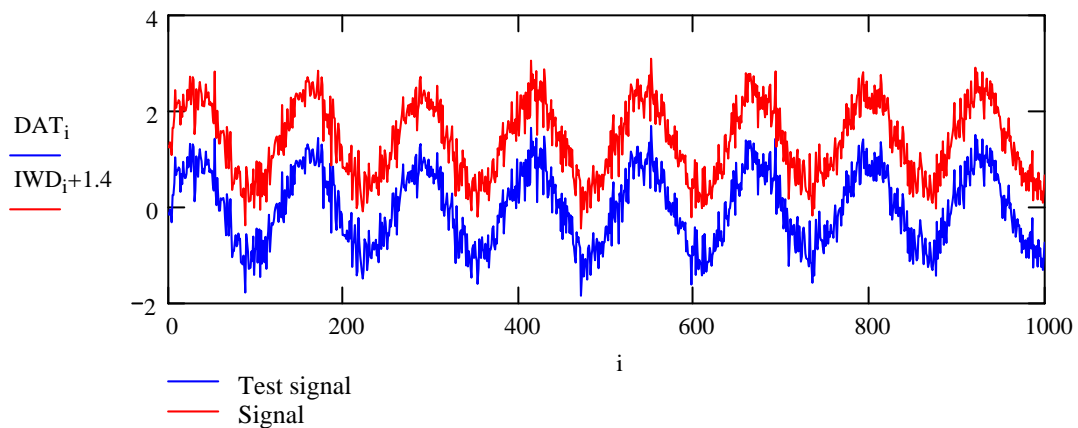


Рис.9 Тестовый сигнал и сигнал восстановленный по коэффициентам полученным в результате прямого дискретного вейвлет преобразования тестого сигнала

6) Квадратичное отклонение сигнала восстановленного после вейвлет преобразования от тестого сигнала

$$\sum_{i=0}^{\text{last}(DAT)} \left[ \left( |DAT_i - IWD_i| \right)^2 \right] = 0$$

Как видно, сигнал восстановлен точно по коэффициентам полученным в результате прямого дискретного вейвлет преобразования.



Сравнение жесткого и мягкого порога при синтезе сигнала по коэффициентам полученным в результате прямого дискретного вейвлет преобразования.

1) Задание количества уровней прямого вейвлет преобразования

$$N := 5$$

2) Вычисление  $N = 5$  уровней прямого вейвлет преобразования

$$WDB := DVP(DAT, H0, H1, N)$$

3) Задание значения порога

$$Prg := 2\sigma$$

4) Вычисление обратного вейвлет преобразование с жестким и мягким видом порога, при значении порога  $Prg = 0.6$  (Рис.10):

$$IWH := OVP(WDB, F0, F1, Prg, "H")$$

$$IWS := OVP(WDB, F0, F1, Prg, "S")$$

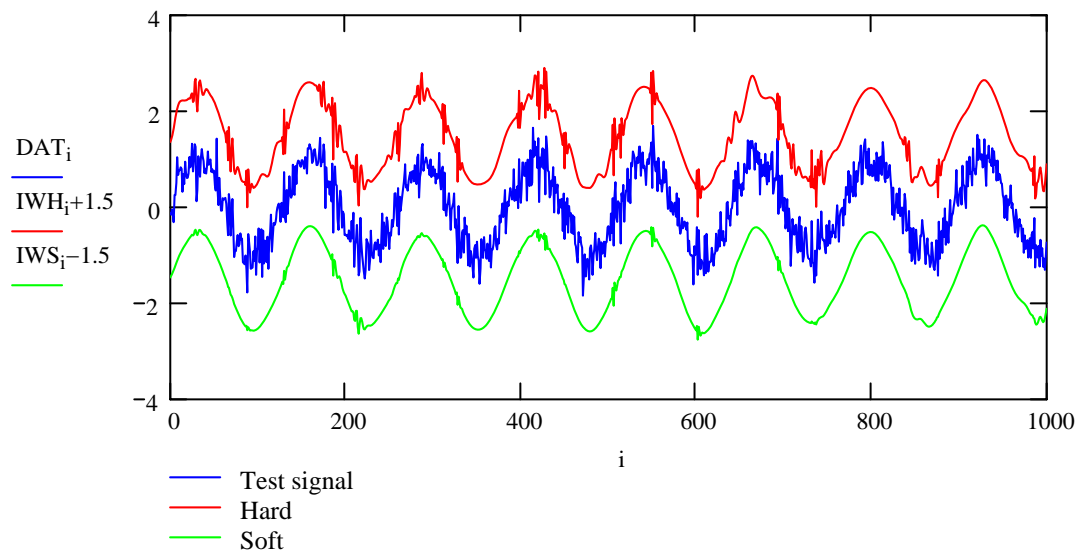


Рис.10 Тестовый сигнал и сигнал восстановленный по коэффициентам полученным в результате прямого дискретного вейвлет преобразования тестового сигнала, с функцией жесткого и мягкого порога.

Для практических приложений интерес представляют модификации вейвлет разложения, а не тождественные преобразования. Например, для сжатия важно представить сигнал небольшим числом коэффициентов прямого вейвлет преобразования.

Программный модуль  $Cmpr(CF, K)$  выделяет в матрице  $CF$  - коэффициентов детализации и аппроксимации, полученных в результате прямого вейвлет преобразования  $CF = DVP(Data, H_0, H_1, N)$ , только  $K$  наибольших по абсолютному значению коэффициентов детализации и аппроксимации, полагая остальные равными нулю.

$$Cmpr(CF, K) := \left| \begin{array}{l} Data \leftarrow CF_{0,0} \\ m \leftarrow \text{cols}(Data) \\ n \leftarrow \text{rows}(Data) \\ N \leftarrow \frac{m}{2} \\ DD \leftarrow \text{submatrix}(Data, 0, n-1, N-1, m-1) \\ md \leftarrow \text{cols}(DD) \\ DST \leftarrow DD^{(0)} \\ \text{for } j \in 1 \dots md-1 \\ \quad DST \leftarrow \text{stack}(DST, DD^{(j)}) \\ Dsort \leftarrow \text{sort}(\overrightarrow{|DST|}) \\ Nx \leftarrow \text{last}(Dsort) \\ A \leftarrow Dsort_{Nx-K} \\ \text{for } j \in N-1 \dots m-1 \\ \quad \text{for } i \in 0 \dots n-1 \\ \quad \quad \left| \begin{array}{l} DH_{i,j} \leftarrow Data_{i,j} \text{ if } |Data_{i,j}| > A \\ DH_{i,j} \leftarrow 0 \text{ otherwise} \end{array} \right. \\ \left( \begin{array}{c} DH \\ CF_{1,0} \end{array} \right) \end{array} \right|$$

### Применение функции $Cmpr(CF, K)$ для сжатия тестового сигнала

#### 1) Задание тестового сигнала

$$i := 0 \dots 1000$$

$$DXD_i := \sin \left[ 2 \cdot \pi \left( \frac{i}{500} \right)^2 \right]$$

2) Задание количества уровней прямого вейвлет преобразования тестового сигнала

$$N := 6$$

3) Вычисление  $N = 6$  уровней прямого вейвлет преобразования

$$WDB := DVP(DXD, H0, H1, N)$$

4) Задание количества наибольших по абсолютному значению коэффициентов  $K$

$$K := 16$$

5) Выделение из матрицы коэффициентов детализации и аппроксимации, полученных в результате прямого вейвлет преобразования только  $K = 16$  наибольших по абсолютному значению коэффициентов, с помощью функции  $Cmpr(CF, K)$

$$WDC := Cmpr(WDB, K)$$

6) Расчет обратного вейвлет преобразование по  $K = 16$  коэффициентам и отображение полученного результата (Рис.11)

$$IWD := OVP(WDC, F0, F1, 0, "H")$$

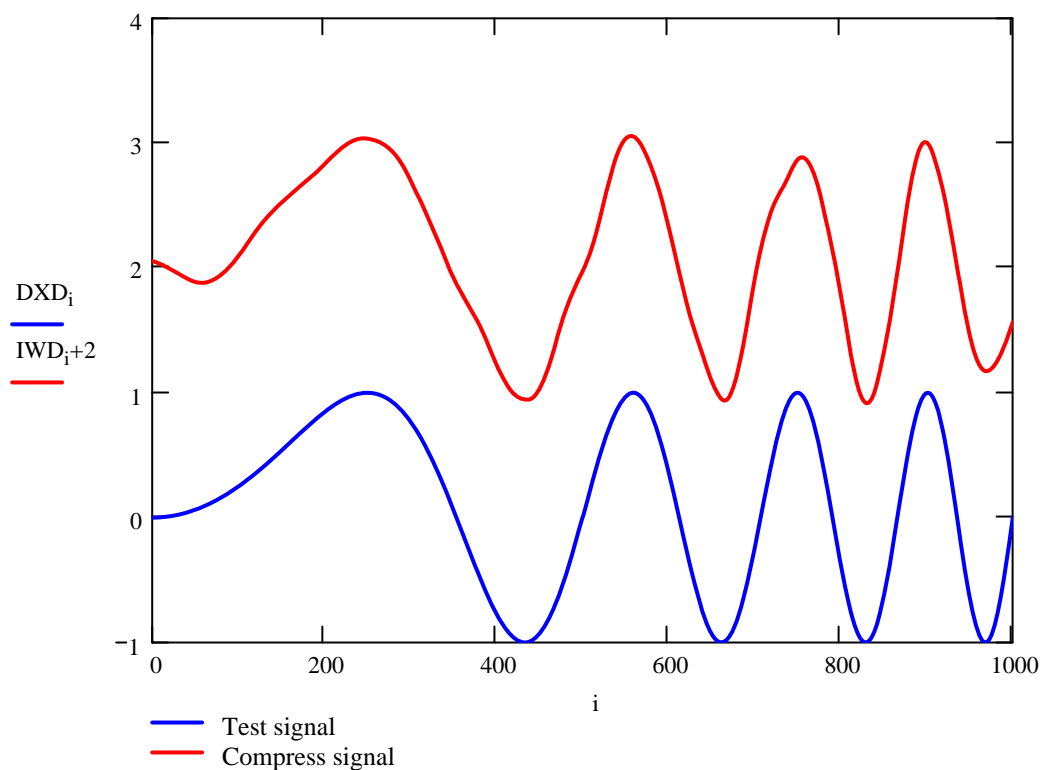


Рис.11 Тестовый сигнал и сигнал восстановленный по  $K = 16$  наибольшим по абсолютному значению коэффициентам аппроксимации и детализации прямого вейвлет преобразования тестового сигнала

## Базисные Функции Вейвлет Преобразования

В результате синтеза, сигнал представляется суммой базисных функций вейвлет преобразования с весами, равными коэффициентам вейвлет разложения. Следовательно, чтобы получить единичную базисную функцию, мы должны подать на блок синтеза серию коэффициентов, равных нулю, за исключением одного, равного единице.

Программный модуль **VidWave(X,Nv)** выполняет *расчет базисных функций* вейвлет преобразования.

- значение **X** равное **F0** приводит к масштабирующей функции
- значение **X** равное **F1** приводит к вейвлет функции

Переменная **Nv** определяет количество итераций для построения базисной функции.

```
VidWave(X,Nv) :=
  for k ∈ 1 .. Nv
    if k > 1
      Lx ← length(X)
      for n ∈ 0 .. Lx - 1
        Y2n+1 ← Xn
      X ← √2 · Conv(Y,F0)
    X ← X otherwise
  X
```

1) Задаем количество итераций для построения базисных функций

$Nv := 5$

2) Рассчитываем базисную масштабирующую функцию и строим ее график (Рис.12)

$Sc := \text{VidWave}(F0, Nv) \quad i := 0 \dots \text{last}(Sc)$

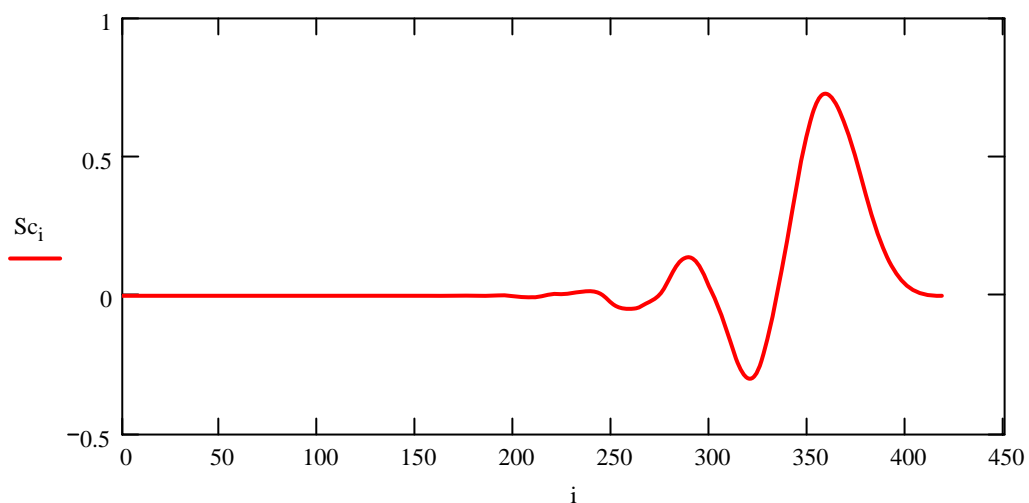


Рис.12 Базисная масштабирующая функция

3) Рассчитываем базисную вейвлет функцию и строим ее график (Рис.13)

$Wv := \text{VidWave}(F1, Nv) \quad i := 0 \dots \text{last}(Wv)$

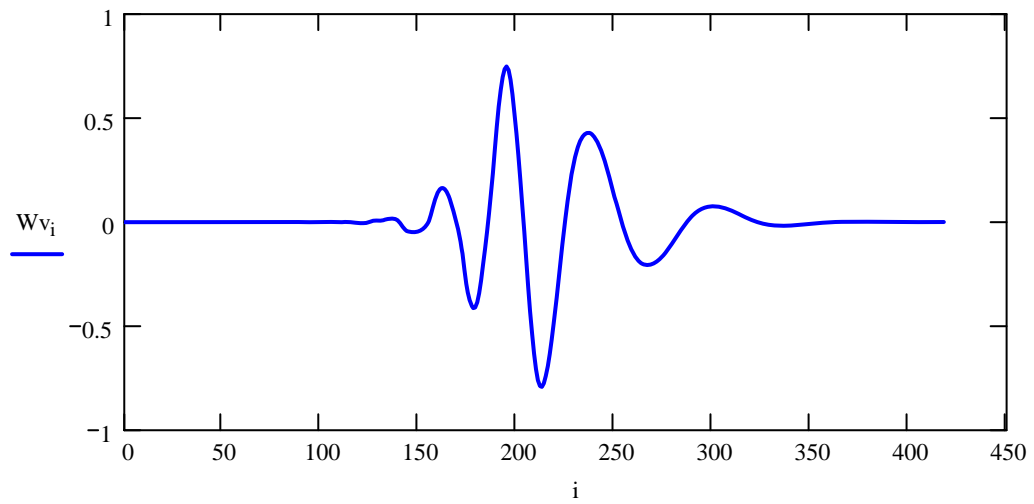


Рис.13 Базисная вейвлет функция